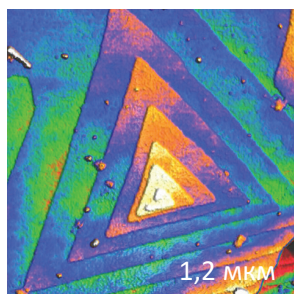
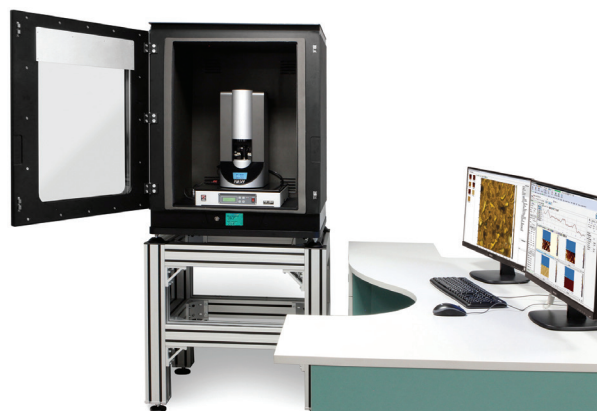


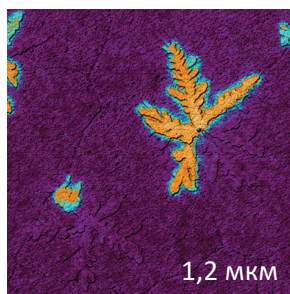
NEXT II

Результаты предельно высокого качества на повседневной основе

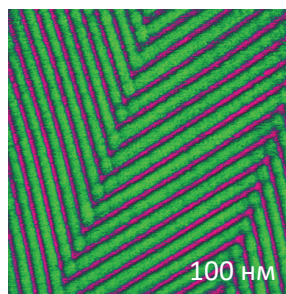
- Исследовательский АСМ с исключительным уровнем автоматизации подготовки и проведения эксперимента
- Рекордно низкий уровень шумов и высочайшая стабильность
- Полный набор самых современных методов АСМ, включая методы прыжковой микроскопии (Hybrid Mode™)



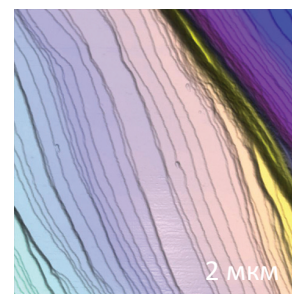
Остроконечная структура Al_2O_3 полученная с использованием ScanTronic и в ручном режиме



Кристаллы пентацена. ЭСМ карта наложенная на рельеф



Молекулярные цепочки фторалканов F14H20 на слюде

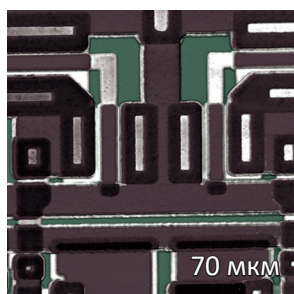


Кристалл поваренной соли

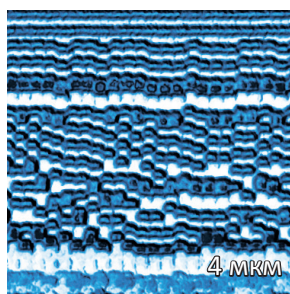
VEGA

Высокопроизводительный АСМ для исследования большеразмерных образцов

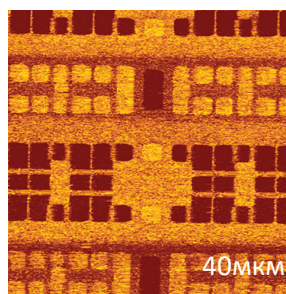
- Измерения рельефа и других поверхностных свойств с нанометровым пространственным разрешением на пластинах диаметром до 200 мм, большеразмерных образцах и массивах образцов
- Высочайший уровень автоматизации процессов настройки и измерений
- 50+ современных методов АСМ, включая методы высокоскоростной прыжковой микроскопии
- Быстрое сканирование для рутинных потоковых измерений морфологии структур



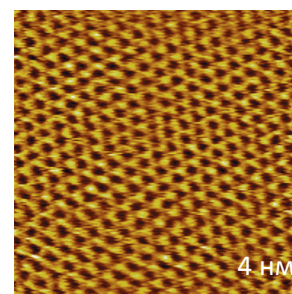
Рельеф фрагмента микросхемы



Магнитные домены в HDD 1 ТБ



Поверхностный потенциал в SRAM

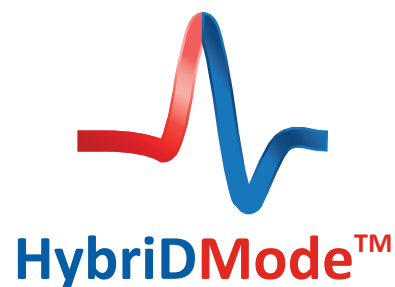


Атомное разрешение на графите

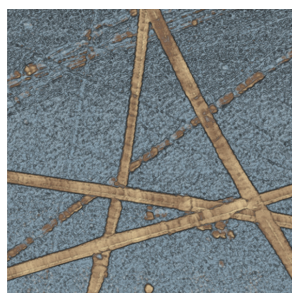
Контроллер HD 2.0

Реализует самый широкий набор методов прыжковой атомно-силовой микроскопии

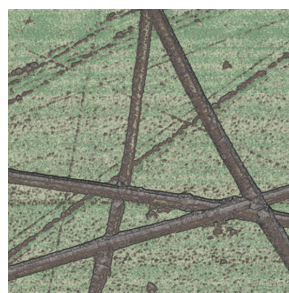
- Неразрушающие исследования мягких, хрупких и плохо зафиксированных объектов
- Быстрые количественные наномеханические и объемно-силовые измерения, неразрушающие измерения проводимости, пьезоэлектрического отклика, теплопроводности и термоэлектрических свойств, измерения магнитно-силовой, электростатической, сканирующей емкостной или Кельвин-зондовой силовой микроскопией
- Новые возможности картирования в зондово-усиленной спектроскопии комбинационного рассеяния (2D TERS mapping)



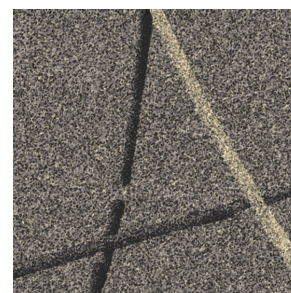
Рельеф



Адгезия



Модуль Юнга



Латеральный пьезоотклик

Неразрушающее исследование пептидных нанотрубок на основе дифенилаланина методом Прыжковой АСМ. Размер скана: 7x7 мкм

ScanTronic™

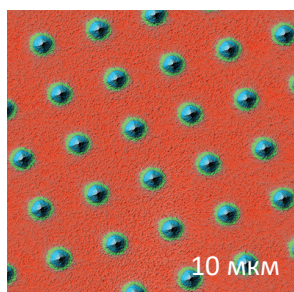
Программный модуль ScanTronic: полностью автоматическая настройка сканирования в полуконтактной АСМ

- Автоматическая настройка параметров обратной связи, амплитуды колебаний зонда, значения рабочей точки и скорости сканирования
- Выбор режима притяжения или отталкивания
- Сканирование без артефактов парашютирования или их компенсация
- Блестящие изображения рельефа и фазового контраста на образцах любой морфологии

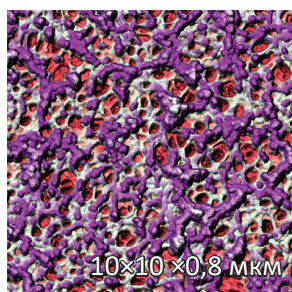


Техника дойдет до такого совершенства, что человек сможет обойтись без себя

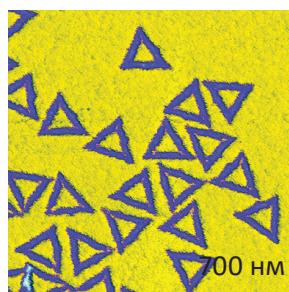
Станислав Ежи Лец



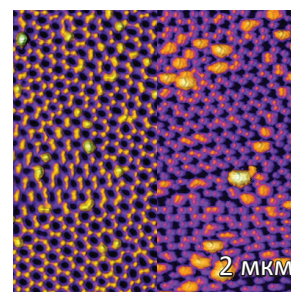
Массив заготовок АСМ зондов



Нитроцеллюлозная мембрана



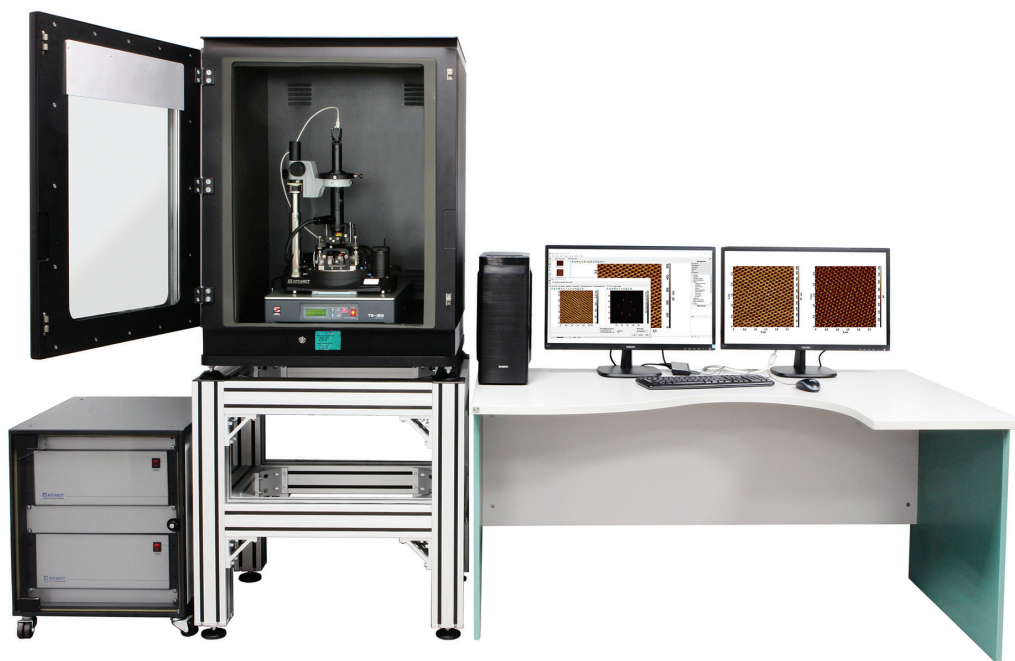
ДНК-оригами на слюде



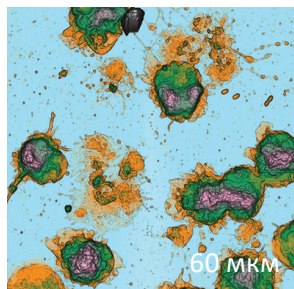
Остроконечная структура Al_2O_3 полученная с использованием ScanTronic и в ручном режиме

NTEGRA II Pro

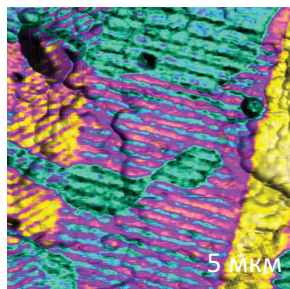
Легендарный АСМ для научных исследований, оснащенный всеми новейшими решениями



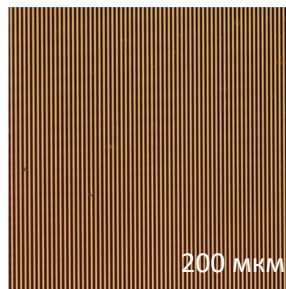
- Открытая архитектура: потрясающая гибкость системы и широчайшие возможности конфигурирования под конкретную научную задачу
- Все самые современные методы АСМ, включая самый широкий набор методов прыжковой микроскопии (Hybrid Mode)
- Автоматизация эксперимента благодаря интеллектуальному программному модулю ScanTronic
- Возможность развития до АСМ-Раман систем, систем микроскопии и спектроскопии нанометрового пространственного разрешения в видимом, ИК и ТГц диапазоне



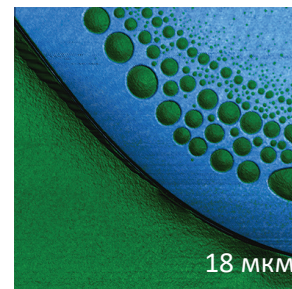
АСМ изображение нейтрофилов на стекле



Доменная структура тонкой пьезоэлектрической пленки



Изображение калибровочной решетки, полученное в конфигурации DualScan™

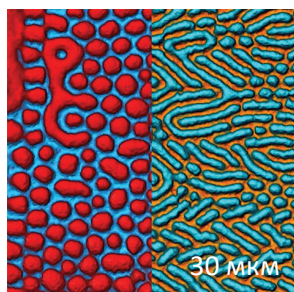
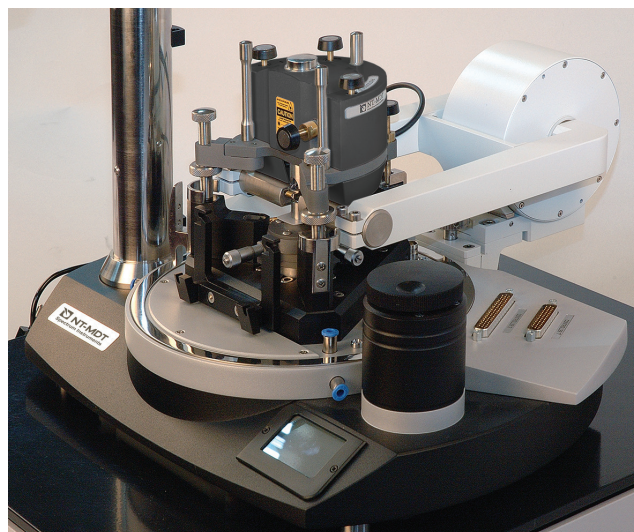
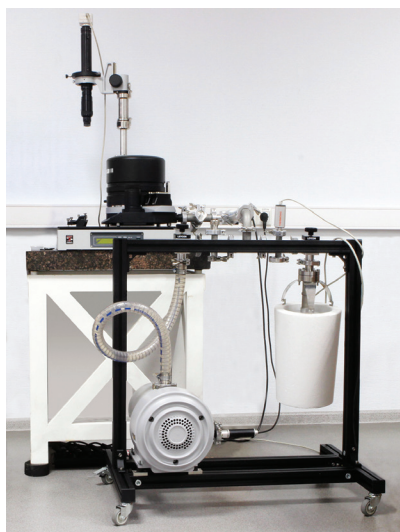


Карта модуля упругости смеси полистирола (голубой) с полиэтиленом (зелёный)

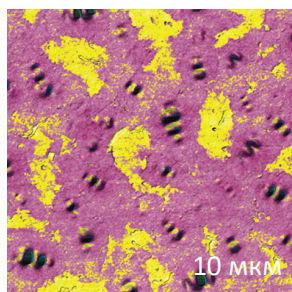
NTEGRA II Pro - конфигурации и опции



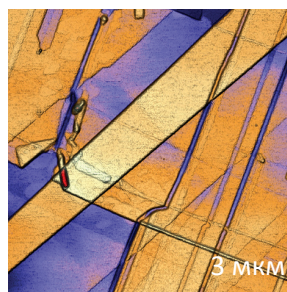
- Измерения в условиях низкого и среднего вакуума
- Измерения в жидкости и в условиях контролируемой атмосферы
- Измерения при приложении внешнего магнитного поля (горизонтального, вертикального)
- Конфигурации для сканирования зондом или образцом, а также конфигурация DualScan
- Доступ внешних устройств к сигналам АСМ
- Широкий выбор источников системы регистрации изгибов кантилевера на основе полупроводниковых лазеров или суперлюминисцентных диодов



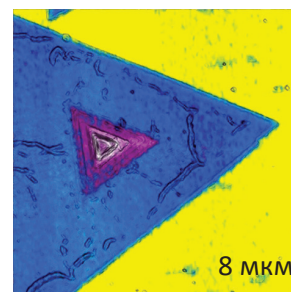
МСМ карты иттриевого железного граната до и после приложения латерального магнитного поля



Карта адгезии пленки битума



Поверхность ВОПГ в вакууме

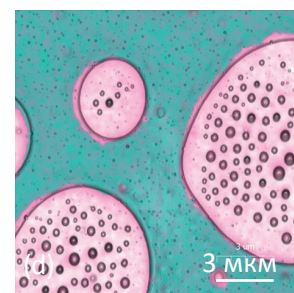
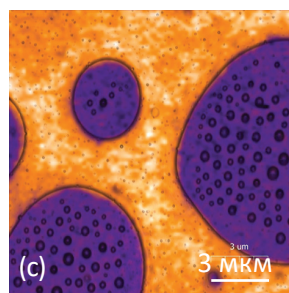
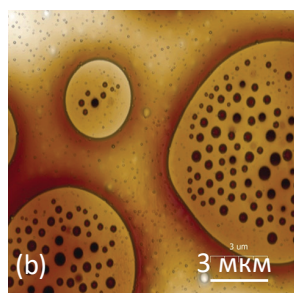
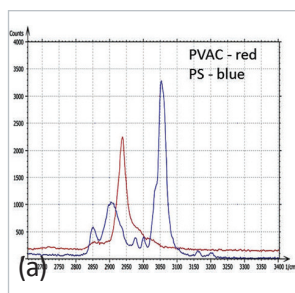
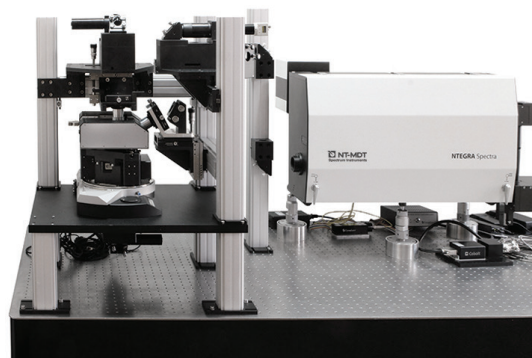


Карта поверхностного потенциала чешуек WS_2 выращенных на эпитаксиальном графене. Изображение получено в вакууме

NTEGRA Spectra II

Многофункциональная автоматизированная система для АСМ-Раман, СБОМ и TERS исследований

- Автоматизированный АСМ высокого разрешения
- Конструктивные решения, оптимизированные для TERS измерений: оптический доступ сверху, снизу и сбоку
- Модульная оптическая система позволяет реализовать любую конфигурацию возбуждения и сбора оптического отклика
- Автоматизированная настройка системы лазер-зонд-фотодиод
- Простая смена длины волны источника излучения оптической системы АСМ
- Легкая и точная настройка объективов
- Сохранность TERS зондов при картировании благодаря использованию HybriD Mode™

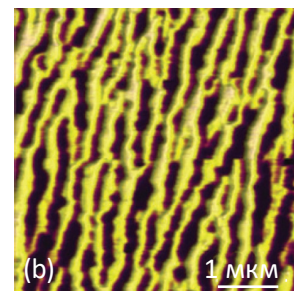
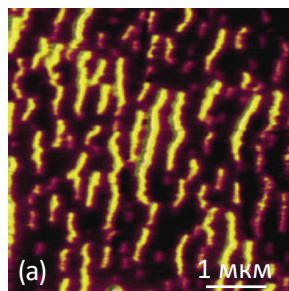
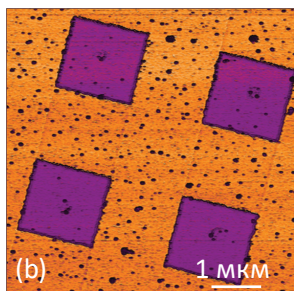
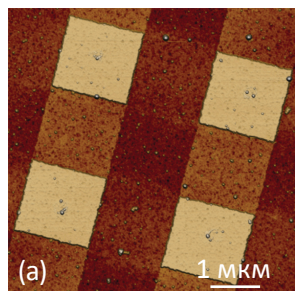
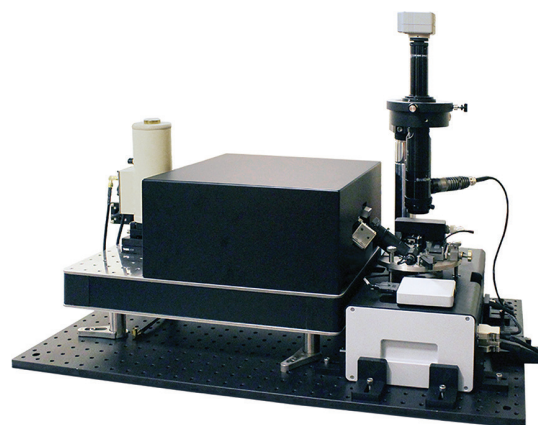


(a) Рамановские спектры поливинилацетата (PVAC) и полистирена (PS), (b) изображение рельефа пленки PS/PVAC. (c)-(d) Рамановские карты полос PVAC и PS

NTEGRA nano IR

Инфракрасная микроскопия и спектроскопия с нанометровым пространственным разрешением

- Рассеивающая ближнепольная оптическая микроскопия (s-SNOM) в видимом, инфракрасном (ИК) и ТГц диапазонах
- Низкий дрейф и высокая стабильность системы
- Универсальный исследовательский АСМ с полным набором самых современных методов исследования морфологии, наномеханических, электрических и магнитных свойств образца, включая методы прыжковой микроскопии (HybriD Mode™)
- Интеллектуальная система ScanTronic™ обеспечивает оптимальную для получения s-SNOM контрастов настройку режима взаимодействия зонда и образца



Рельеф (a) и p-SNOM амплитуда (b) решетки Si/SiO₂

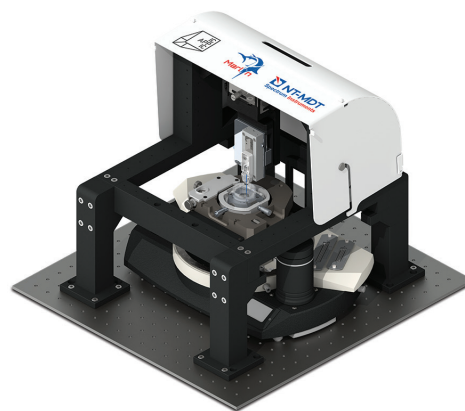
Наложенные на рельеф изображения контрастов отражения при 55 °C (a) и при 67 °C (b), λ= 10.6 мкм. Образец представлен prof. Liu (Stony Brook University, New York, USA)



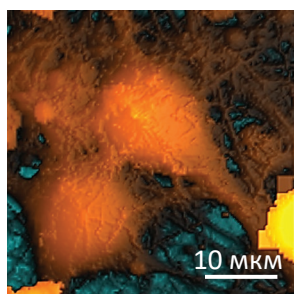
NTEGRA Marlin

Новейшая система АСМ-Раман-СМИП для биологических исследований

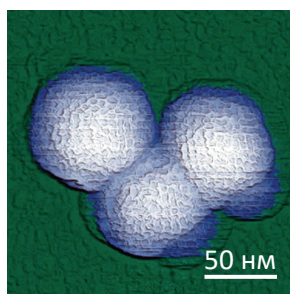
- Высокоскоростная сканирующая микроскопия ионной проводимости
- Бесконтактное исследование живых клеток в естественной физиологической среде
- Измерение механических свойств в широком диапазоне жесткостей
- Patch-clamp измерения с нанометровой локализацией
- Комбинация с оптическими методиками



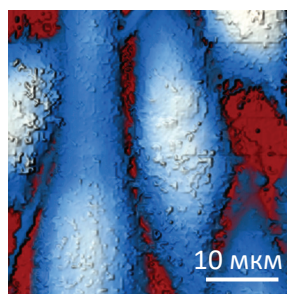
Проект реализуется при содействии Фонда содействия инновациям



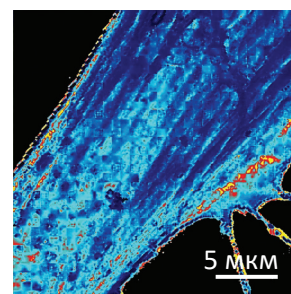
СМИП-изображение живого нейрона из гиппокампа мыши



АСМ-изображение частиц риновируса



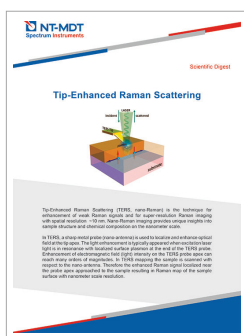
СМИП-изображение клеток карциномы РС3 предстательной железы человека



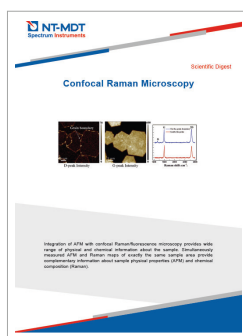
СМИП карта модуля упругости живого фибробласта. E=2 Pa..3,4 MPa

Дайджесты научных статей

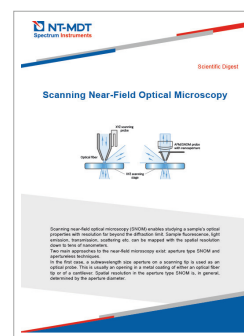
Tip-Enhanced Raman Spectroscopy



Confocal Raman Microscopy



Scanning Near-Field Optical Microscopy



Контакты

Центральный офис: 4460, г. Москва, г. Зеленоград, проезд 4922, д. 4 стр. 3, 3 этаж
Телефон: + 7 (499) 110-2050
E-mail: info@ntmdt-si.ru

www.ntmdt-si.com

Узнать больше

www.ntmdt-tips.com

